

RUIDO PASABANDA (v2010)

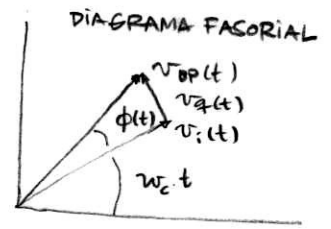
- Objetivos
1. Analizar el desempeño de los sistemas de comunicación analógicos pasabanda en presencia de ruido.
 2. Modelo del ruido pasabanda.
 3. Cálculo de las SNR_D para
 - i. AM, DSB, VSB, síncrono y envolvente.
 - ii. PM y FM

Motivación

La transmisión de una señal (un mensaje) analógico $x(t)$ (S_x, W) por un canal pasabanda puede hacerse con varios métodos diferentes, modulando distintas partes de una señal portadora

$$v_{pp}(t) = A_v(t) \cos(\omega_c t + \phi_v(t))$$

↑ Modulación lineal ↑ Modulación exponencial



$$v_{pp}(t) = v_i(t) \cos(\omega_c t) + v_q(t) \cos(\omega_c t + \frac{\pi}{2}) = v_i(t) \cos(\omega_c t) - v_q(t) \sin(\omega_c t)$$

Señales pasabajos

$$v_i(t) = A_v(t) \cos(\phi_v(t)) \quad \text{y} \quad v_q(t) = A_v(t) \sin(\phi_v(t)) \quad \text{FASE / CUADRETIURA}$$

Análogos $A_v(t) = \sqrt{v_i^2(t) + v_q^2(t)}$ $\phi_v(t) = \arctan\left(\frac{v_q(t)}{v_i(t)}\right)$

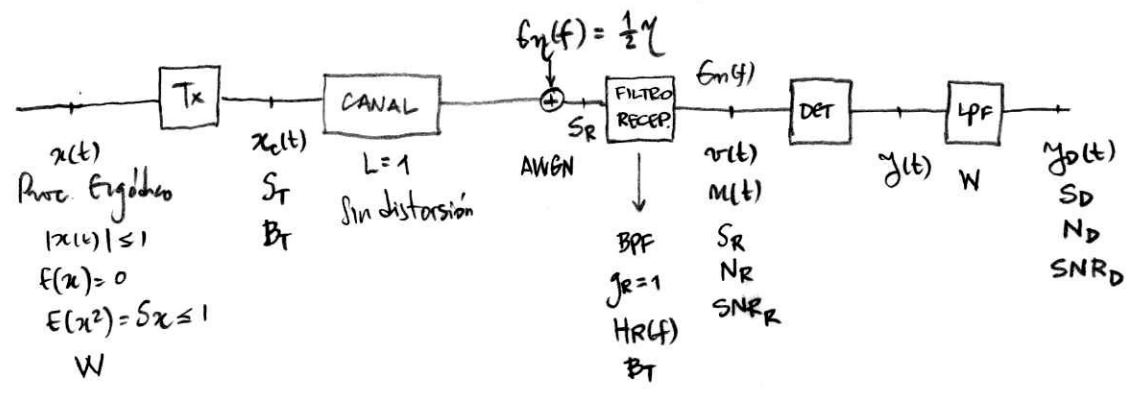
El ancho de banda utilizado y la potencia de transmisión B_T y S_T dependen del método de Modulación

	B_T	S_T	SNR _D
AM	$2W$	$\frac{1}{2} A_c^2 (1 + \mu S_x)$	}
DSB	$2W$	$\frac{1}{2} A_c^2 S_x$	
SSB	W	$\frac{1}{4} A_c^2 S_x$	
VSB	$W + \beta$	$\frac{1}{4} A_c^2 S_x < < \frac{1}{2} A_c^2 S_x$	
PM		$\frac{1}{2} A_c^2$	
FM	$2(D+2)W$	$\frac{1}{2} A_c^2$	$D = \frac{f_d}{W}$

} 2W en caso Narrow Band

Preguntas:
 Cómo afecta el ruido?
 Cómo se comportan c/u de las modulaciones?
 Hay compromisor? (Siempre se puede demodular?)
 Cuál es la eficiencia en cuanto a la potencia de transmisión en presencia del ruido?

Modelo de un sistema de comunicación pasabanda



Ruido en recepción: proceso estocástico estacionario y gaussiano (ergódico) pasabanda.

Dependiendo la modulación $y(t)$ será

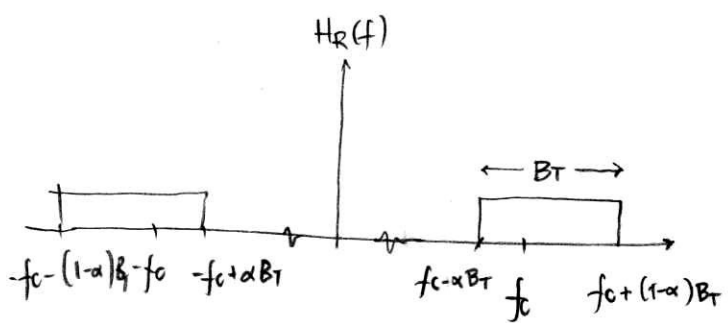
$$y(t) = \begin{cases} v_i(t) & \text{DET. SÍNCRONO} \\ A v(t) - \bar{A} v & \text{DET. ENVOLVENTE} \\ \Phi v(t) & \text{DET. FASE} \\ \frac{1}{2\pi} \dot{\phi}(t) & \text{DET. FREQ. INSTANTÁNEA} \end{cases}$$

$$v(t) = \frac{x_c(t)}{\sqrt{L}} + m(t)$$

$$G_M(f) = |H_R(f)|^2 G_M(f) = \frac{1}{2} \eta |H_R(f)|^2$$

$$E(v^2) = \frac{E(x_c^2)}{L} + E(m^2) = S_R + N_R$$

INDEP. Y MEDIA LUNA



El α nos permitirá evaluar el sust. con diferentes modulaciones

$$\alpha = \frac{1}{2} \text{ DSB}$$

$$\alpha = \{0, 1\} \text{ U/L SSB}$$

B_T ancho de banda del filtro ideal o ancho de banda equivalente del ruido del filtro real

$$N_R = \sigma_N^2 = \int_{-\infty}^{+\infty} |H_R(f)|^2 \frac{1}{2} \eta df = \eta B_T$$

↑
BPF

$$SNR_R = \frac{S_R}{\eta B_T} = \frac{W}{B_T} \frac{S_R}{\eta W} = \frac{W}{B_T} \gamma$$

γ : SNR_D en banda base
independiente del método de modulación

Para saber lo que "ve" el detector en la entrada, y por ende, lo que se detectará, necesitamos conocer del ruido:

- componente en fase con la portadora (det. sincrónico)
- envolvente y fase (det. de envolvente, de fase y de frec. instantánea)

Ruido Pasabanda: $m(t) = m_i(t) \cos(\omega_c t) - m_q(t) \sin(\omega_c t)$

$$m_i(t) = A_m(t) \cos(\phi_m(t))$$

$$m_q(t) = A_m(t) \sin(\phi_m(t))$$

Propiedades de $m_i(t)$ y $m_q(t)$ (Ejercicios, pp)

m_i y m_q son estacionarios y gaussianos (ergo, ergódicos)

$E(m_i) = E(m_q) = 0$

$E(m_i, m_q) = 0$ No están correlacionados si $H_R(f)$ tiene simetría local respecto a fc. (ergo, independientes por gaussianos)

$E(m_i^2) = E(m_q^2) = E(m^2) = N_R = \eta B_T$

$m_i(t)$ y $m_q(t)$ son procesos pasabajos, es posible escribirlos en función de $m(t)$ y $\hat{m}(t)$

($\hat{m}(t)$: Transformada de Hilbert $\hat{m}(t) = m(t) * \frac{1}{\pi t} = \frac{1}{\pi} \int \frac{m(s) ds}{t-s}$)

$$m_i(t) = m(t) \cos(\omega_c t) + \hat{m}(t) \sin(\omega_c t)$$

$$m_q(t) = \hat{m}(t) \cos(\omega_c t) - m(t) \sin(\omega_c t)$$

$$F(\hat{m}) = -j \operatorname{sgn}(f) F(m)$$

$$R_{\hat{m}}(\tau) = R_m(\tau)$$

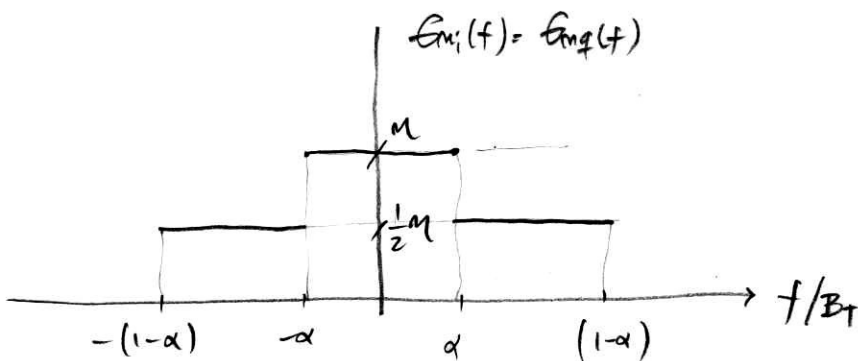
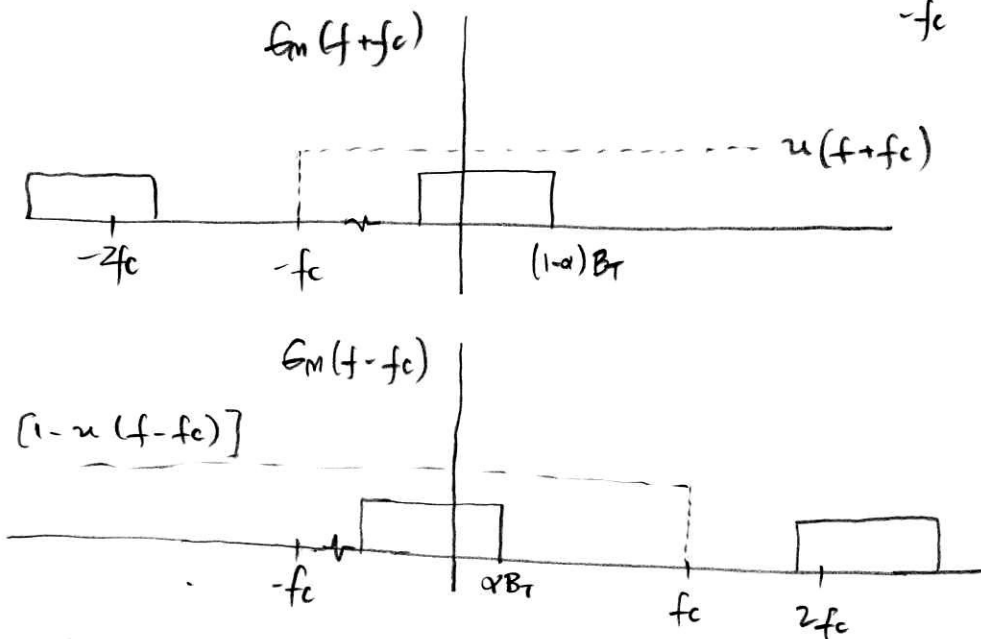
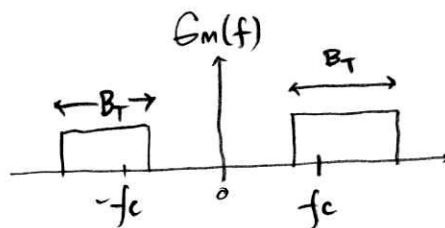
$$R_{m\hat{m}}(\tau) = \hat{R}_m(\tau) = -R_m\hat{m}(\tau)$$

$$S_{\hat{m}}(f) = S_m(f)$$

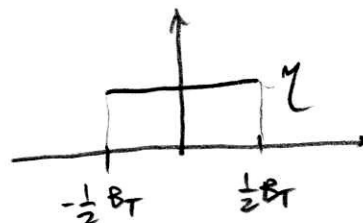
Tomando $R_m(\tau)$ se llega a

$$G_{m_i}(f) = G_{m_g}(f) = \underbrace{G_m(f+f_c) u(f+f_c)}_{\text{"Parte positiva" centrada en } -\phi} + G_m(f-f_c) [1 - u(f-f_c)]$$

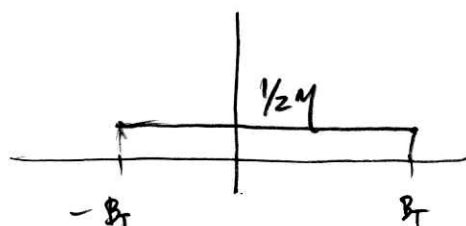
¿Cómo son estos espectros? Siendo



(1) Bandas simétricas (AM, DSB, FM, PM)



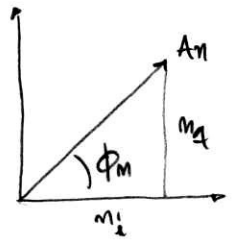
(2) Única banda (U/L) SSB



Esto nos permite analizar los sistemas que usan componentes fase y cuadratura del ruido.
P.ej: detección síncrona. Pero para expresiones envolvente/fase no es necesaria.
(en particular mod. exponencial)

Representación envolvente-fase

Toda señal compleja puede representarse en fase-cuadratura o envolvente-fase



$$m(t) = \underbrace{A_m(t)}_{\text{envolvente}} \cos(\underbrace{\omega t + \phi_m(t)}_{\text{fase}})$$

$$A_m^2(t) = m_i^2(t) + m_q^2(t) \quad \text{y} \quad \phi_m(t) = \arctan \frac{m_q(t)}{m_i(t)} \quad (1)$$

$$m_i(t) = A_m(t) \cos(\phi_m(t)) \quad \text{y} \quad m_q(t) = A_m(t) \sin(\phi_m(t))$$

$$\rightarrow m(t) = A_m(t) \cos(\phi_m(t)) \cos(\omega t) - A_m(t) \sin(\phi_m(t)) \sin(\omega t)$$

Las relaciones no lineales hacen muy difícil el análisis espectral, aunque se conozca f_{m_i} y f_{m_q} . Esta conversión es similar a un cambio de coordenadas rectangulares a polares, este cambio lleva a la siguiente relación entre distribuciones de prob.

$$f_{m_i, m_q}(m_i, m_q) dm_i dm_q = f_{A_m, \phi_m}(A_m, \phi_m) dA_m d\phi_m \quad \left[\text{describen una misma área} \right]$$

$$\text{y} \quad dm_i dm_q = A_m dA_m d\phi_m$$

$$\Rightarrow f_{A_m, \phi_m}(A_m, \phi_m) = A_m f_{m_i, m_q}(m_i, m_q) \quad \text{con} \quad f_{m_i, m_q} \sim \mathcal{N}(0, \sigma_N^2)$$

$$= A_m \frac{1}{2\pi\sigma_N^2} \exp\left(-\frac{m_i^2 + m_q^2}{2\sigma_N^2}\right) = \frac{A_m}{2\pi\sigma_N^2} \exp\left(-\frac{A_m^2}{2\sigma_N^2}\right)$$

Para calcular f_{A_m} y f_{ϕ_m} calcularemos los marginales de f_{A_m, ϕ_m} :

$$f_{\phi_m}(\phi_m) = \int_0^{+\infty} f_{A_m, \phi_m}(A_m, \phi_m) dA_m = \frac{1}{2\pi\sigma_N^2} \int_0^{+\infty} A_m e^{-\frac{A_m^2}{2\sigma_N^2}} dA_m = \frac{1}{2\pi} \left[-e^{-\frac{A_m^2}{2\sigma_N^2}} \right]_0^{+\infty} = \frac{1}{2\pi}$$

$$\Rightarrow \phi_m \sim \mathcal{U}[0, 2\pi)$$

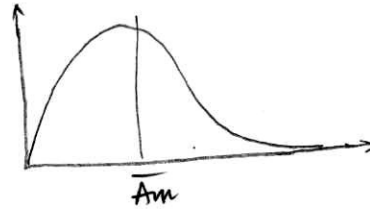
$$f_{Am\phi_m}(Am, \phi_m) = \underbrace{\frac{1}{2\pi}}_{f_{\phi_m}(\phi_m)} \frac{Am}{\sigma_N^2} \exp\left(-\frac{Am^2}{2\sigma_N^2}\right)$$

esto muestra que $f_{Am\phi_m} = f_{Am} f_{\phi_m}$

$$\rightarrow f_{Am}(Am) = \frac{Am}{\sigma_N^2} \exp\left(-\frac{Am^2}{2\sigma_N^2}\right)$$

$Am \geq 0$

Que es una distribución de Rayleigh



$$E(Am) = \sqrt{\frac{\pi \sigma_N^2}{2}} = \sqrt{\frac{\pi N_R}{2}}$$

$$E(Am^2) = 2\sigma_N^2 = 2N_R$$

Verificación: $E(m^2) = \sigma_N^2 = N_R = E\left(Am^2 \cos^2(\omega_c t + \phi_m(t))\right) =$

$$= E(Am^2) \langle \cos^2(\omega_c t + \phi_m(t)) \rangle = 2N_R \frac{1}{2} \quad (\checkmark)$$

Relación Señal a Poder en Recepción

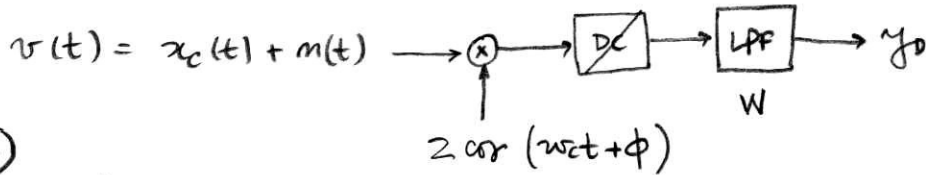
La recepción es similar para todos los sistemas pasabanda. La diferencia está en el detector que se utiliza; y obviamente en las diferencias de B_T y S_T .

$$SNR_R = \frac{W}{B_T} \gamma$$

Los sistemas con mayores requerimientos de ancho de banda B_T están más expuestos al ruido en recepción. Esto no implica peores SNR_D , pero precoran mayor S_T

Ruido en Modulación Lineal

1. Detección sincrona (AM, DSB, SSB)



DSB

$$v(t) = [A_c x(t) + m_i(t)] \cos(\omega_c t) - m_q(t) \sin(\omega_c t)$$

$$y(t) = A_c x(t) + m_i(t)$$

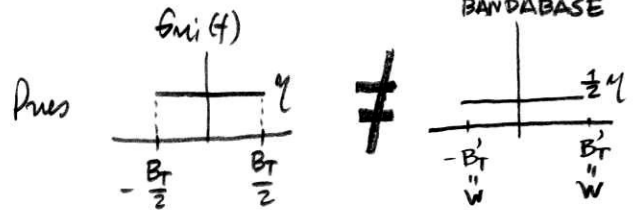
$$\downarrow$$

$$y_D(t) = A_c x(t) + m_i(t)$$

La detección sincrona ideal extrae la componente en fase del mensaje $v(t)$

$$SNR_D = \frac{S_D}{N_D} \quad S_D = A_c^2 S_x \quad \text{y} \quad N_D = ?$$

$$N_D = \int_{-\infty}^{+\infty} G_{ni}(f) df = \int_{-B_T/2}^{B_T/2} n df = n B_T$$



Da igual que lo que calculabamos en bandabase. Pero partiendo de otros G_n y B_T
No confundir!

$$\Rightarrow SNR_D = \frac{A_c^2 S_x}{n B_T}$$

En este caso $S_R = \frac{1}{2} A_c^2 S_x$

$$SNR_D = \frac{2 S_R}{n B_T} = \frac{S_R}{n W} = \gamma$$

\Rightarrow IGUAL SNR_D QUE EN BANDABASE, CON LA COMPLEJIDAD EXTRA DEL SINCRONISMO
¿QUÉ GANAMOS? MODULAR

Resumen DSB $B_T = 2W$ $SNR_D = \gamma$ (A la tabla!)

AM = DSB + C CON DETECTOR SINCRONO

$$v(t) = x_c(t) + m(t) = [A_c (1 + \mu x(t)) + m_i(t)] \cos(\omega_c t) - m_q(t) \sin(\omega_c t)$$

$$y_D(t) = A_c \mu x(t) + m_i(t)$$

$$S_D = A_c^2 \mu^2 S_x \quad N_D = n B_T \quad B_T = 2W$$

$$S_R = \frac{1}{2} A_c^2 (1 + \mu^2 S_x)$$

$$SNR_D = \frac{A_c^2 \mu^2 S_x}{n B_T} = \frac{\mu^2 S_x}{(1 + \mu^2 S_x)} \gamma$$

Si $\mu=1$ y $S_x=1 \rightarrow SNR_{D,max} = \frac{1}{2} \gamma$

En AM comercial $S_x \approx 0.1$ y SNR_D es 10dB menor que γ . Para contrarrestar esto las radiomisoras utilizan técnicas de "compresión de volumen" y "limitación del valor de pico" para modular 100% a la portadora.

Remover AM: $B_T = 2W$ $SNR_D \leq \gamma/2$

SSB

$$v(t) = x_c(t) + m(t) = \left[\frac{1}{2} A_c x(t) + m_i(t) \right] \cos(\omega_c t) \pm \left[\frac{1}{2} A_c \hat{x}(t) + m_q(t) \right] \sin(\omega_c t)$$

$$y_0(t) = \frac{1}{2} A_c x(t) + m_i(t)$$

$$S_D = \frac{1}{4} A_c^2 S_x$$

$$N_D = \eta B_T = \eta W$$

$$S_R = \frac{1}{4} A_c^2 S_x$$

$$SNR_D = \frac{S_R}{\eta W} = \gamma$$

USB+C

$\beta \ll W \Rightarrow$ El ruido es similar al que SSB. Aunque la señal es como la de AM

$$SNR_D \approx \frac{\mu^2 S_x}{1 + S_x \mu^2} \gamma \quad \text{USB+C}$$

$$B_T \approx W$$

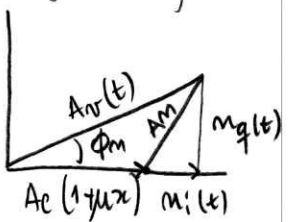
AM CON DETECTOR DE ENVOLVENTE

Debemos usar la descomposición env.-fase del ruido



$$v(t) = \left[A_c (1 + \mu x(t)) + m_i(t) \right] \cos(\omega_c t) - m_q(t) \sin(\omega_c t)$$

Diagrama fasorial



$$A_r^2(t) = \left[A_c (1 + \mu x(t)) + m_i(t) \right]^2 + m_q^2(t)$$

$$\phi_r(t) = \arctan \left(\frac{m_q(t)}{A_c (1 + \mu x(t)) + m_i(t)} \right)$$

$$y_0(t) = A_r(t) - \overline{A_r}$$

Para poder analizar este detector debemos hacer algunas hipótesis extra, estudiando los casos extremos

- (i) $A_c \gg A_m$
- (ii) $A_c \ll A_m$

(i) $A_c \gg A_n$ Señal domina el ruido

Para aproximar esta escenario podemos tomar como criterio $P_r \left(\frac{A_n}{\sigma_N} \leq \frac{A_c}{\sigma_N} \right) \geq 0,99$

Sabiendo que $f_{A_n}(A_n) \sim \text{Rayleigh}(\sigma_N^2)$

$$P_r(A_n \leq A_c) \geq 0,99 \Leftrightarrow P_r \left(\frac{A_n}{\sigma_N} \leq \frac{A_c}{\sigma_N} \right) \geq 0,99$$

[Definiendo $x = \frac{A_n}{\sigma_N}$ v.a. $\sim \text{Rayleigh}(1)$]

$$\Leftrightarrow \int_0^{A_c/\sigma_N} x e^{-x^2/2} dx \geq 0,99$$

$$\Leftrightarrow -e^{-x^2/2} \Big|_0^{A_c/\sigma_N} \geq 0,99$$

$$\Leftrightarrow 1 - e^{-A_c^2/2\sigma_N^2} \geq 0,99$$

$$\Leftrightarrow e^{A_c^2/2\sigma_N^2} \geq 100$$

$$\Leftrightarrow A_c^2/2\sigma_N^2 \geq \ln 100 = 2 \ln 10$$

$$\Leftrightarrow \left(\frac{A_c}{\sigma_N} \right)^2 \geq 4 \ln 10 = 9,21 \sim 10$$

$$SNR_R = \frac{S_R}{\eta_{BT}} = \frac{1}{2} A_c^2 (1 + \mu^2 S_x) \frac{1}{\sigma_N^2} = \frac{A_c^2}{\sigma_N^2} \quad \mu^2 S_x = 1$$

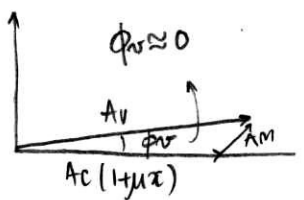
\Rightarrow Condición de ruidal en AM con detector de envolvente $SNR_R \geq SNR_R^{TH} \approx 10$

En esta condición:

$$A_v(t) = \sqrt{(A_c(1 + \mu x(t)) + m_i(t))^2 + m_q^2(t)}$$

$$A_v(t) = A_c(1 + \mu x(t)) \sqrt{\left(1 + \frac{m_i}{A_c(1 + \mu x(t))}\right)^2 + \frac{m_q^2}{A_c^2(1 + \mu x(t))^2}} \approx A_c(1 + \mu x) \sqrt{1 + 2 \frac{m_i}{A_c(1 + \mu x)}}$$

$\sqrt{1+x} \sim 1 + \frac{x}{2} (x \rightarrow 0)$



$$\rightarrow A_c(1 + \mu x(t)) + m_i(t) \approx A_v(t)$$

$$y_D(t) = A_v(t) - \overline{A_v} = \mu A_c x(t) + m_i(t)$$

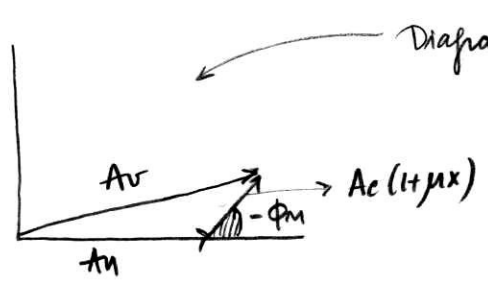
IGUAL QUE EL DET. SINCRÓNICO

$$SNR_D = \frac{A_c^2 \mu^2 S_x}{\eta_{BT}} = \frac{\mu^2 S_x}{1 + \mu^2 S_x} \gamma = SNR_D \quad \text{Si } SNR_R \geq SNR_R^{th} = 10$$

$S_R = \frac{1}{2} A_c^2 (1 + \mu^2 S_x)$

Obs: En condiciones de funcionamiento el det. de envolvente y el demodulador tienen el mismo desempeño.

(ii) $A_c \ll A_n \implies SNR_R < SNR_R^{th}$



$A_n(t) \cong A_n(t) + A_c(1+\mu x(t)) \cos \phi_n(t)$

En estas condiciones de ruido dominante el ruido mutila a la señal. No existe ningún término que sea sólo mensaje.

No es posible detectar mensaje.

Obs: en AM comercial la calidad de $SNR_D \geq 30dB$

$SNR_D = \frac{\mu^2 S_x}{1+\mu^2 S_x} \gamma \leq \frac{1}{2} \gamma = SNR_R \implies SNR_R \geq 30dB > SNR_R^{th}$

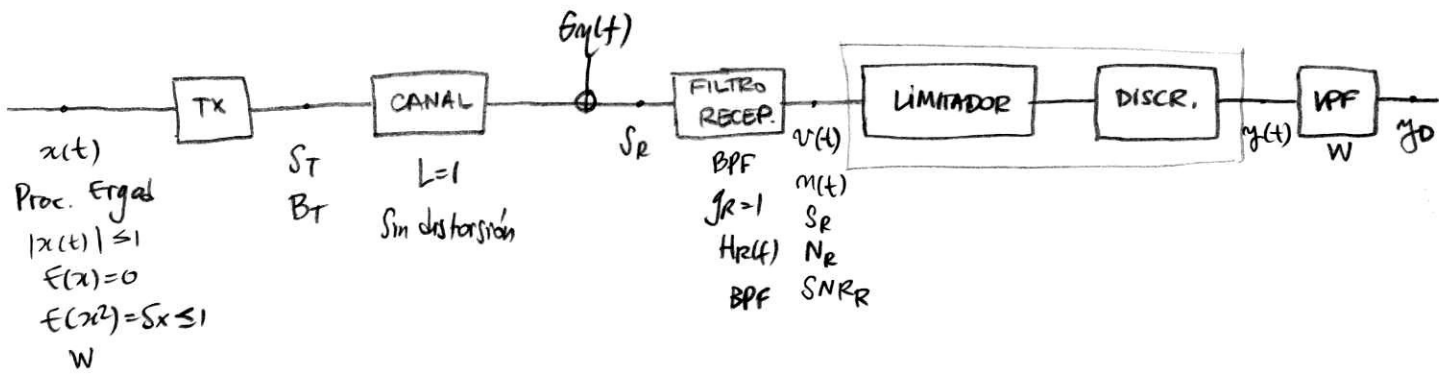
Jacobiano del cambio de coordenadas rectangular a polar

cn. $\begin{cases} x = R \cos \theta \\ y = R \sin \theta \end{cases}$

$p_{R,\theta}(R,\theta) = p_{x,y}(x,y) J\left(\frac{x,y}{R,\theta}\right)$

$J(x,y \rightarrow R,\theta) = \begin{vmatrix} \frac{\partial x}{\partial R} & \frac{\partial x}{\partial \theta} \\ \frac{\partial y}{\partial R} & \frac{\partial y}{\partial \theta} \end{vmatrix} = \begin{vmatrix} \cos \theta & -R \sin \theta \\ \sin \theta & R \cos \theta \end{vmatrix} = R(\cos^2 \theta + \sin^2 \theta) = R.$

Ruido en Modulación Exponencial

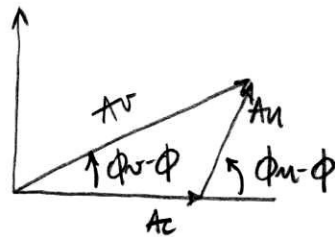


$$v(t) = \frac{x_c(t)}{\sqrt{L}} + m(t) = A_c \cos(\omega_c t + \phi(t)) + A_m \cos(\omega_c t + \phi_m(t)) = A_v(t) \cos(\omega_c t + \phi_v(t))$$

$$y(t) = \begin{cases} \phi_v(t) & \text{PM} \\ \frac{1}{2\pi} \dot{\phi}(t) & \text{FM} \end{cases} \quad \phi(t) = \begin{cases} \phi_\Delta x(t) & \text{PM} \\ 2\pi f_\Delta \int^t x(s) ds & \end{cases}$$

$$S_R = \frac{1}{2} A_c^2 \quad N_R = \eta B_T \quad SNR_R = \frac{A_c^2}{2\eta B_T}$$

Diagrama fasorial referido al mensaje



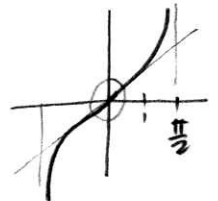
$$\tan(\phi_v - \phi) = \frac{A_m \sin(\phi_m - \phi)}{A_c + A_m \cos(\phi_m - \phi)}$$

$$\Rightarrow \phi_v(t) = \underbrace{\phi(t)}_{\text{SEÑAL}} + \underbrace{\arctan\left(\frac{A_m \sin(\phi_m - \phi)}{A_c + A_m \cos(\phi_m - \phi)}\right)}_{\text{RUIDO } \psi(t)}$$

Nuevamente necesitamos alguna hipótesis extra para simplificar y seguir adelante

Ⓜ $A_c \gg A_m \Rightarrow SNR_R \geq SNR_R^{th} \approx 10$ sea $\psi(t) \approx \arctan\left(\frac{A_m \sin(\phi_m - \phi)}{A_c}\right)$

Luego $\psi(t) \approx \frac{A_m}{A_c} \sin(\phi_m - \phi)$ pues $\left|\frac{A_m \sin(\cdot)}{A_c}\right| \leq \frac{A_m}{A_c} \ll 1$ y $\tan(x) \approx x$



¿Cuál es la densidad de prob. de $(\phi_m - \phi)$?

ϕ y ϕ_m son indep.
 $\phi \sim U(-\pi, \pi)$
 ϕ, ϕ_m periódicos 2π

$$f_{\phi - \phi_m}(x) = f_{\phi} * f_{\phi_m}(x) = \frac{1}{2\pi} \int_{-\pi}^{\pi} f_{\phi}(x-y) dy =$$

$$= \frac{1}{2\pi} \int_{x-\pi}^{x+\pi} f_{\phi}(u) du = \frac{1}{2\pi} = f_{\phi_m}(x)$$

ϕ 2π periódica

$f_{\phi - \phi_m} = f_{\phi_m - \phi} = f_{\phi_m} \Rightarrow \text{dens}(\phi_m - \phi) \sim \text{dens} \phi_m$

OTRO ARGUMENTO

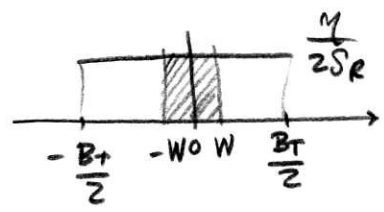
- ϕ_m es uniforme $(-\pi, \pi)$ ✓
- ϕ_m varía mucho más rápido que $\phi(t)$ QUE DEPENDE DE $x(t)$

$\Rightarrow \psi(t) \cong \frac{A_m \sin(\phi_m(t))}{A_c} = \frac{m_f(t)}{A_c}$

$\rightarrow \phi_v(t) = \phi(t) + \frac{1}{\sqrt{2S_R}} m_f(t)$

Luego de estas simplificaciones el ruido en la fase es aditivo, depende de la componente en cuadratura del ruido, y decrece al aumentar la potencia de la señal transmitida.

$S_{\psi}(f) = \frac{1}{2S_R} S_{m_f}(f) = \frac{1}{2S_R} \gamma \pi \left(\frac{f}{B_T}\right)$



Ruido en PM

$\gamma_{\phi}(t) = \phi_{\sigma}(t) = \phi_{\Delta} x(t) + \psi(t)$

$S_D = \phi_{\Delta}^2 S_x \quad N_D = \int_{-W}^W S_{\psi}(f) df = \frac{\gamma}{2S_R} 2W = \frac{\gamma W}{S_R}$

SOBRE EL UMBRAL

$\rightarrow SNR_D = \phi_{\Delta}^2 S_x \gamma$

Es $\phi_{\Delta}^2 S_x$ veces mayor que la SNR_D de transmisión banda base. Pero las limitaciones de AM ($\phi_{\Delta} < \pi, S_x \leq 1$) hace que no sean grandes mejoras en total.

Ruido en FM

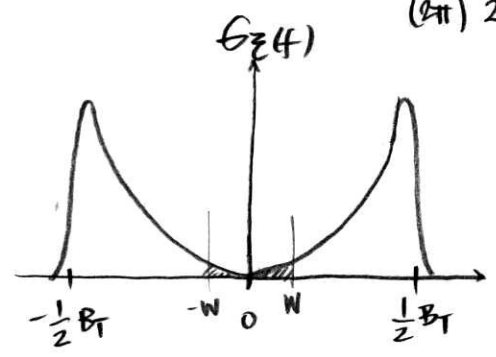
$$y_D(t) = \frac{1}{2\pi} \dot{\phi}_r(t) = \frac{1}{2\pi} \dot{\phi}(t) + \underbrace{\frac{1}{2\pi} \dot{\psi}(t)}_{\xi(t)} = f_\Delta x(t) + \xi(t)$$

$$\xi(t) = \frac{1}{\sqrt{2S_R}} \frac{1}{2\pi} \dot{m}_q(t)$$

¿Cómo es $G_\xi(f)$? ¿Cómo es un filtro derivador?

$$G_\xi(f) = |H_{\text{DERIVADOR}}(f)|^2 G_{m_q}(f) \quad H_{\text{DERIV}}(f) = 2\pi f$$

$$\rightarrow G_\xi(f) = (2\pi)^2 f^2 \frac{1}{(2\pi)^2 2S_R} \eta \pi \left(\frac{f}{B_T}\right) = \boxed{\frac{f^2}{2S_R} \eta \pi \left(\frac{f}{B_T}\right) = G_\xi(f)}$$



SOBRE EL UMBRAL
(EN RECEPCIÓN)

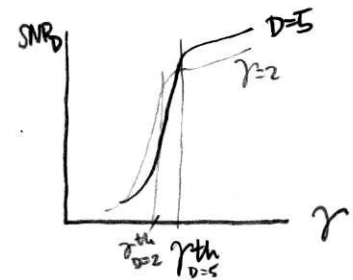
fm "expulsa" el ruido de la banda donde está el mensaje !!

$$S_D = f_\Delta^2 S_x$$

$$N_D = \int_{-W}^W G_\xi(f) df = \frac{\eta}{2S_R} \left(\frac{f^3}{3} \Big|_{-W}^W \right) = \frac{\eta W^3}{3S_R}$$

$$SNR_D = \frac{3 f_\Delta^2 S_x S_R}{\eta W^3} = 3 D^2 S_x \gamma \quad \text{SOBRE EL UMBRAL} \quad SNR_R \geq SNR_R^{th} = 10$$

Efecto del umbral en la SNR_D



$$SNR_R = \frac{1}{2} \frac{\Delta c^2}{2 \eta (D+2) W} = \frac{1}{2(D+2)} \gamma \geq 10$$

$$\gamma_{th} = 20(D+2)$$

- # En bajas frecuencias donde está el mensaje de interés, el ruido tiene poca potencia.
- # El efecto parabólico afecta con mayor potencia de ruido a las frec. mayores del mensaje
- # Aumento f_Δ y aumenta SNR_D (con igual S_T), pero aumenta B_T . Esto se llama intercambio $S_T \leftrightarrow B_T$
- # Existe un f_Δ que nos deja debajo del umbral (pues aumenta B_T y aumenta N_R)

Ejercicio Diseña de un sistema FM

$x(t) : W, S_x$

Canal : L y η

Parámetros : f_a, S_T

Se desea garantizar una cuenta $SNR_D \geq SNR_{DO}$ en el destino con S_T mínima.

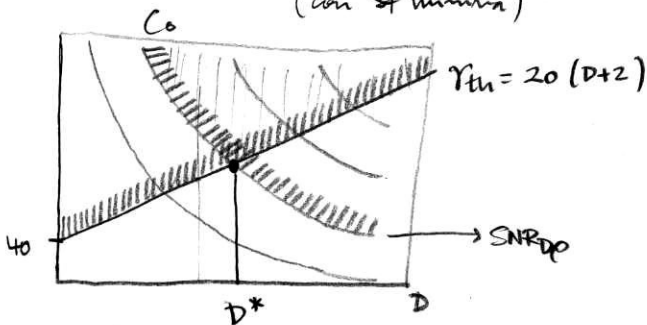
① - $SNR_D = 3D^2 S_x \gamma \geq SNR_{DO}$

② - $SNR_R = \frac{S_T}{\eta L B_T} \geq 10$

- $B_T = 2(D+2)W$

$\frac{S_T}{\eta L 2(D+2)W} \geq 10 \Rightarrow \frac{\gamma}{2(D+2)} \geq 10 \rightarrow \gamma_{th} = 20(D+2)$
El mínimo.

$SNR_D = 3D^2 S_x 20(D+2) \geq SNR_{DO}$ γ mejor $\gamma \geq \frac{SNR_{DO}}{3D^2 S_x}$
 fue el umbral (con S_T mínima)
 $20(D+2) \geq \frac{SNR_{DO}}{3D^2 S_x}$



Ambas condiciones ① y ② se cumplen en las áreas sombreadas. El punto de menor S_T es (D^*, SNR_{DO})

FM Comercial

$f_a = 75 \text{ kHz}$ $W = 15 \text{ kHz}$ $D=5$ $B_T \approx 210 \text{ kHz}$ $S_x = \frac{1}{2}$

$SNR_D = 3D^2 S_x \gamma = \frac{1}{2} 3 \times 25 \gamma \approx 38 \gamma$

Si usamos filtros de pre / de-emphasis $B_{de} = 21 \text{ kHz}$ $SNR_D \approx 640 \gamma$

En la práctica se aprovecha estas altas SNR_D 's para disminuir S_T manteniendo la condición de umbral, intercambiando $S_T \leftrightarrow B_T$.

Filtros de pre / de-énfasis

El ruido en FM tiene densidad espectral de potencia parabólica $G_N(f) = \frac{\eta}{2SR} \pi (f/B_{DE})^2$

Esto hace que el ruido en detección afecta de forma diferente a las bajas o a las altas frecuencias de los mensajes; y aún más cuando se multiplexan varios mensajes en banda base.



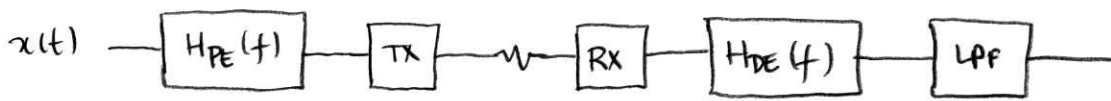
En este último caso los mensajes más cercanos a banda base estarán contaminados con menor cantidad de ruido

Para solucionar esto se introducen filtros de pre / de-énfasis que cambren la respuesta en frecuencia del ruido (y del mensaje)

$H_{DE}(f) = \frac{1}{1 + j \frac{f}{B_{DE}}}$ Para compensar el aumento parabólico del ruido.
 B_{DE} : ancho de banda del filtro de de-énfasis $\frac{W}{B_{DE}} \gg 1$

Tiene una respuesta frecuencial como una parábola inversa $|H_{DE}(f)|^2 = \frac{1}{1 + \frac{f^2}{B_{DE}^2}}$

El efecto parabólico cancela el efecto del ruido logrando una densidad espectral de potencia del ruido uniforme en la banda del mensaje. Obviamente, también afecta el espectro del mensaje. Para resolver esto, el mensaje se pre-énfatisa, con un filtro de respuesta inversa, tal que $|H_{PE}(f)|^2 |H_{DE}(f)|^2 = 1$ $H_{PE}(f) = \frac{1}{H_{DE}(f)}$



De esta forma el mensaje no se ve afectado por la pareja de filtros.

El filtro H_{PE} es una parábola, amplificando los altas frecuencias del mensaje. Esto puede implicar un aumento del ancho de banda del mensaje, sin embargo bajo la condición $W \gg B_{DE}$ y que $G_N(f)$ decaiga más rápido que $|1/f|$, esto no sucede.

Relación Señal a Ruido con filtros pre / de-énfasis

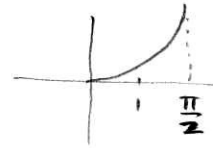
$$N_{D_{DE}} = \int_{-W}^W |H_{DE}(f)|^2 G_N(f) df = \frac{\eta B_{DE}^2}{2SR} \int_{-W}^W \frac{f^2}{B_{DE}^2 + f^2} df = \frac{\eta B_{DE}^2}{2SR} \int_{-W}^W \frac{f^2 + B_{DE}^2 - B_{DE}^2}{B_{DE}^2 + f^2} df =$$

$$= \frac{\eta B_{DE}^2}{2 S_R} \int_{-W}^W \left[1 - \frac{B_{DE}^2}{B_{DE}^2 + f^2} \right] df = \frac{\eta B_{DE}^2}{2 S_R} \left[f \Big|_{-W}^W - B_{DE} \operatorname{arctg} \left(\frac{f}{B_{DE}} \right) \Big|_{-W}^W \right] \quad (16)$$

$$= \frac{\eta B_{DE}^2}{2 S_R} \left[2W - B_{DE} \operatorname{arctg} \left(\frac{W}{B_{DE}} \right) + B_{DE} \operatorname{arctg} \left(-\frac{W}{B_{DE}} \right) \right] = \frac{\eta B_{DE}^2}{S_R} \left[\frac{W}{B_{DE}} - \operatorname{arctg} \left(\frac{W}{B_{DE}} \right) \right]$$

$\sim \frac{\pi}{2}$

Si $\frac{W}{B_{DE}} \gg 1 \Rightarrow \operatorname{arctg} \left(\frac{W}{B_{DE}} \right) \sim \frac{\pi}{2} \ll \frac{W}{B_{DE}}$



$$\Rightarrow \left. \begin{aligned} N_{D_{DE}} &= \frac{\eta B_{DE}^2 W}{S_R} \\ S_D &= f_{\Delta}^2 S_x \end{aligned} \right\} \operatorname{SNR}_{D_{DE}} = \frac{f_{\Delta}^2 S_x S_R}{\eta B_{DE}^2 W} = \frac{W^2}{B_{DE}^2} D^2 S_x \gamma$$

SOBRE EL UMBRAL

- # El ruido en modulación tiene componentes fuera de la banda del mensaje
- # El ruido en PM es plano mientras que en FM es parabólico
- # Los filtros de pre/de-énfasis compensan la diferencia de ruido en los bandos de FM.
- # El ruido en PM y FM disminuye al aumentar S_R (efecto al cambiar de radio FM)